

DOI: <https://doi.org/10.30898/1684-1719.2023.5.2>

УДК: 537.87

ПРИБЛИЖЕННЫЕ АСИМПТОТИЧЕСКИЕ ВЫРАЖЕНИЯ ЭЛЕКТРОМАГНИТНОГО ПОЛЯ ИСТОЧНИКОВ ВБЛИЗИ ГЛАДКОЙ ВЫПУКЛОЙ ПРОВОДЯЩЕЙ ПОВЕРХНОСТИ ВРАЩЕНИЯ

М.В. Инденбом

Всероссийский научно-исследовательский институт радиотехники
105082, Москва, Б. Почтовая, 22

Статья поступила в редакцию 25 ноября 2022 г.

Аннотация. Получены приближенные асимптотические выражения для электромагнитного поля, создаваемого источниками в виде поверхностных магнитных и электрических токов, расположенных вблизи произвольной гладкой выпуклой проводящей поверхности вращения большого размера. Выражения справедливы в приповерхностном слое толщиной порядка длины волны и имеют вид суммы ряда азимутальных гармоник и интеграла по непрерывному спектру собственных функций поля. Коэффициенты ряда выражены интегралами от произведения заданного распределения источников с собственными функциями. Для собственных функций методом параболического уравнения получены как общие интегральные представления, так и замкнутые выражения через функции Эйри, равномерные для случая поверхности вращения с одним полюсом. Выражения поля учитывают неразделимость полного поля на сумму полей Е- и Н-типа, равномерно справедливы в приповерхностном слое поверхности, исключая окрестности полюсов поверхности вращения, и не имеют разрывов на каустиках поверхностных лучей. Полученные выражения применены для расчета взаимных проводимостей кольцевых щелей на полубесконечной и гладко усеченной конической поверхностях. Проведено сравнение численных результатов, полученных предлагаемым и строгим

методами для полубесконечного конуса. Показано, что в случае синфазных кольцевых щелей в полубесконечном конусе полученное асимптотическое выражение для взаимной проводимости совпадает с главным членом асимптотики строгого решения на основе метода собственных функций.

Ключевые слова: электромагнитное поле, поверхность вращения, равномерная асимптотика, параболические уравнения, электрический ток, магнитный ток, собственные функции, функции Эйри, кольцевые щели, взаимные проводимости.

Автор для переписки: Инденбом Михаил Вульфович, mindenbom@mail.ru

Введение

Электромагнитное поле заданных источников, расположенных во внешней области некоторой проводящей поверхности, часто представляют в виде суммы собственных функций уравнений поля во внешней области поверхности [1]. В случае выпуклой поверхности вращения, уходящей одним краем на бесконечность и имеющей один полюс (вершину), такое представление в области, свободной от источников поля, имеет вид:

$$\left(\vec{E}, \vec{H} \right) = \sum_{m=-\infty}^{\infty} \sum_{i=1}^2 \sum_{j=1}^2 \int_{-\infty}^{\infty} C_m^{(ij)}(t) \left(\vec{E}_m^{(ij)}(t), \vec{H}_m^{(ij)}(t) \right) dt, \quad (1)$$

где пространственный спектр разложения непрерывен по t в силу неограниченности области; $\vec{E}_m^{(ij)}(t)$, $\vec{H}_m^{(ij)}(t)$ – собственные функции четырех типов: $i = 1$ – стоячие волны у поверхности, $i = 2$ – уходящие от поверхности волны, индекс $j = 1, 2$ различает волны двух поляризаций. Коэффициенты разложения $C_m^{(ij)}(t)$ могут быть найдены различными способами, например, выражены через распределение заданных электрических и магнитных токов с помощью леммы Лоренца [2]. Представление (1) удобно для описания поля осесимметрично распределенных источников, например, кольцевых токов и осесимметричных антенных решеток [3].

Для некоторого числа поверхностей, таких как конус или параболоид вращения, собственные функции известны и описываются специальными функциями: сферическими, параболического цилиндра. В работе [3] собственные функции построены приближенно асимптотически вблизи произвольной гладкой выпуклой проводящей поверхности вращения большого электрического размера в виде волн электрического и магнитного типа относительно направления нормали к поверхности. Однако, разложение на волны электрического и магнитного типов является приближенным.

Целью настоящей работы является уточнение этого решения с учетом неразделимости собственных функций поля на волны E - и H -типа. Как поле, так и его источники находятся в приповерхностном слое шириной порядка длины волны, что достаточно для решения большей части антенных задач. Поле в дальней зоне может затем быть получено интегрированием ближнего поля по поверхности.

1. Решение уравнений для электромагнитного поля в пограничном слое поверхности при отсутствии источников

Рассмотрим ортогональную систему координат s, φ, n , где n – длина отрезка внешней нормали от поверхности до координируемой точки, s – длина образующей от полюса поверхности вращения до основания нормали, φ – азимутальный угол, образующей Коэффициенты Ламэ:

$$h_s = 1 + k_1 n, \quad h_\varphi = \rho(1 + k_2 n), \quad h_n = 1, \quad (1)$$

где k_1 – кривизна образующей (главная кривизна поверхности вдоль касательного к образующей орта \hat{s}), k_2 – главная кривизна поверхности вдоль орта $\hat{\varphi}$, ρ – радиус направляющей окружности.

Упрощенные дифференциальные уравнения поля и потенциалов. Электромагнитное поле в отсутствие источников может быть выражено через потенциалы U и V :

$$\left. \begin{aligned} E_s &= \frac{1}{h_s} \frac{\partial^2 U}{\partial s \partial n} - \frac{jk}{h_\varphi} \frac{\partial V}{\partial \varphi}, & ZH_s &= \frac{jk}{h_\varphi} \frac{\partial U}{\partial \varphi} + \frac{1}{h_s} \frac{\partial^2 V}{\partial s \partial n}, \\ E_\varphi &= \frac{1}{h_\varphi} \frac{\partial^2 U}{\partial \varphi \partial n} + \frac{jk}{h_s} \frac{\partial V}{\partial s}, & ZH_\varphi &= \frac{-jk}{h_s} \frac{\partial U}{\partial s} + \frac{1}{h_\varphi} \frac{\partial^2 V}{\partial \varphi \partial n}, \\ E_n &= k^2 U + \frac{\partial^2 U}{\partial n^2}, & ZH_n &= k^2 V + \frac{\partial^2 V}{\partial n^2}. \end{aligned} \right\} \quad (2)$$

Потенциалы U и V в первом приближении удовлетворяют общему дифференциальному уравнению [3]. В следующем приближении для них получается система из двух связанных дифференциальных уравнений. Для получения этих приближенных уравнений воспользуемся волновым уравнением для ковариантных компонент электрического поля¹⁾ $(\nabla^l \nabla_l + k^2)E_i = 0$ или в развернутом виде:

$$g^{mj} \frac{\partial^2 E_i}{\partial x^m \partial x^j} - g^{mj} \left(2\Gamma_{ij}^l \frac{\partial E_l}{\partial x^m} + \Gamma_{mj}^l \frac{\partial E_i}{\partial x^l} \right) + g^{mj} (\Gamma_{mj}^n \Gamma_{in}^l + \Gamma_{im}^n \Gamma_{nj}^l) E_l + k^2 E_i = 0, \quad (3)$$

и аналогичного уравнения для магнитного поля, где $x^1 = s$, $x^2 = \varphi$, $x^3 = n$. Компоненты метрического тензора $g^{mj} = \delta_{mj}/(h_m)^2$. Отличные от нуля символы Кристоффеля в координатах вращения:

$$\begin{aligned} \Gamma_{11}^1 &= \frac{dk_1}{ds} n, & \Gamma_{12}^2 &= \Gamma_{21}^2 = \frac{1}{\rho} \frac{d\rho}{ds}, & \Gamma_{22}^1 &= -\frac{h_\varphi}{h_s} \frac{\partial h_\varphi}{\partial s}, \\ \Gamma_{11}^3 &= -k_1, & \Gamma_{13}^1 &= \Gamma_{31}^1 = \frac{k_1}{(1+k_1 n)^2}, & \Gamma_{22}^3 &= -h_\varphi \frac{\partial h_\varphi}{\partial n}, \\ \Gamma_{33}^1 &= -h_s \frac{\partial h_s}{\partial s} = -(1+k_1 n) \frac{dk_1}{ds} n, & \Gamma_{23}^2 &= \Gamma_{32}^2 = \frac{1}{h_\varphi} \frac{\partial h_\varphi}{\partial n} = \frac{1}{k_2^{-1} + n}. \end{aligned} \quad (4)$$

Вблизи поверхности с большими радиусами кривизны ($n \sim \lambda$, $k_{1,2} \ll k$) и вдали от полюсов ($k\rho \gg 1$), пренебрегая малым третьим слагаемым в (3), запишем уравнение для основной компоненты E_3 в виде:

¹⁾ По дважды повторяющимся один раз сверху, один раз снизу индексам подразумевается суммирование.

$$\begin{aligned} & \frac{1}{h_s^2} \frac{\partial^2 E_3}{\partial s^2} + \frac{1}{h_\varphi^2} \frac{\partial^2 E_3}{\partial \varphi^2} + \frac{\partial^2 E_3}{\partial n^2} - \frac{2}{h_s^2} \Gamma_{31}^1 \frac{\partial E_1}{\partial s} - \frac{2}{h_\varphi^2} \Gamma_{32}^2 \frac{\partial E_2}{\partial \varphi} - 2\Gamma_{33}^1 \frac{\partial E_1}{\partial n} - \\ & - \frac{1}{h_\varphi^2} \Gamma_{22}^1 \frac{\partial E_3}{\partial s} - \left(\frac{1}{h_s^2} \Gamma_{11}^3 + \frac{1}{h_\varphi^2} \Gamma_{22}^3 \right) \frac{\partial E_3}{\partial n} + k^2 E_3 = 0 \end{aligned} \quad (5)$$

Применим это уравнение к m -й азимутальной гармонике поля, для которой $\frac{\partial}{\partial \varphi} = -jm$. Раскрывая символы Кристоффеля и коэффициенты Ламэ, получим:

$$\begin{aligned} & \frac{1}{(1+k_1 n)^2} \frac{\partial^2 E_3}{\partial s^2} + \frac{\partial^2 E_3}{\partial n^2} + \frac{1}{\rho(1+k_1 n)^2} \frac{d\rho}{ds} \frac{\partial E_3}{\partial s} + \left(\frac{k_1}{(1+k_1 n)^2} + \frac{k_2}{(1+k_2 n)^2} \right) \frac{\partial E_3}{\partial n} + \\ & + k^2 \left(1 - \frac{\kappa^2}{(1+k_2 n)^2} \right) E_3 = -2\Gamma_{33}^1 \frac{\partial E_1}{\partial n} + \frac{2}{h_s^2} \Gamma_{31}^1 \frac{\partial E_1}{\partial s} + \frac{2}{h_\varphi^2} \Gamma_{32}^2 \frac{\partial E_2}{\partial \varphi} \end{aligned} \quad (6)$$

Достаточно рассмотреть переходную («полутеневую») область, где $\frac{\partial E_3}{\partial n} \sim \frac{E_3}{M}$,

$$M = \left(\frac{kR}{2} \right)^{\frac{1}{3}} \quad (7)$$

– большой параметр задачи [3],

$$R = \frac{1}{k_1(1-\kappa^2) + k_2\kappa^2} \quad (8)$$

– радиус кривизны нормального сечения поверхности вдоль направления, задаваемого параметром:

$$\kappa = \kappa_m = \frac{m}{k\rho}. \quad (9)$$

Тогда четвертым слагаемым в левой части и первым слагаемым в правой части (6) можно пренебречь. Оставшиеся члены правой части малы и с помощью (2), (4) их можно приближенно выразить следующим образом:

$$\frac{1}{h_s^2} \Gamma_{31}^1 \frac{\partial E_1}{\partial s} + \frac{1}{h_\varphi^2} \Gamma_{32}^2 \frac{\partial E_2}{\partial \varphi} \cong k^2 \kappa (k_2 - k_1) \frac{\partial V}{\partial s}.$$

Теперь можно выполнить замену $E_3 \cong k^2 U$, $ZH_3 \cong k^2 V$, в результате которой получим первое уравнение для потенциалов:

$$\frac{\partial^2 U}{\partial s^2} + \frac{\partial^2 U}{\partial n^2} + \frac{1}{\rho} \frac{d\rho}{ds} \frac{\partial U}{\partial s} + k^2 \left(1 - \kappa^2 + \frac{2n}{R} \right) U = 2\kappa(k_2 - k_1) \frac{\partial V}{\partial s}. \quad (10)$$

Заменой неизвестных функций

$$U = \frac{\Psi}{\sqrt{\rho}}, \quad V = \frac{\Omega}{\sqrt{\rho}} \quad (11)$$

и переменной n на безразмерную переменную:

$$z = \frac{kn}{M}, \quad (12)$$

уравнение приводится к виду:

$$\frac{M^2}{k^2} \left(\frac{\partial^2 \Psi}{\partial s^2} + k^2(1 - \kappa^2) \Psi - 2\kappa(k_2 - k_1) \frac{\partial \Omega}{\partial s} \right) + \left(\frac{\partial^2 \Psi}{\partial z^2} + z \Psi \right) = 0. \quad (13)$$

Это уравнение отличается от приближенного дифференциального уравнения для потенциала, полученного в [3], наличием дополнительного малого слагаемого, содержащего неизвестную функцию Ω . Аналогичным преобразованием волнового уравнения для основной компоненты H_3 получается второе дифференциальное уравнение:

$$\frac{M^2}{k^2} \left(\frac{\partial^2 \Omega}{\partial s^2} + k^2(1 - \kappa^2) \Omega + 2\kappa(k_2 - k_1) \frac{\partial \Psi}{\partial s} \right) + \left(\frac{\partial^2 \Omega}{\partial z^2} + z \Omega \right) = 0. \quad (14)$$

Решение системы упрощенных дифференциальных уравнений. Система уравнений (13), (14) решается методом разделения переменных. Представим неизвестные функции в виде произведения двух функций одной переменной $\Psi = Z(z)S(s)$ и $\Omega = Z(z)W(s)$. Для Z получим обыкновенное дифференциальное уравнение:

$$Z'' - (t - z)Z = 0, \quad (15)$$

частными решениями которого являются функции Эйри $w_{1,2}(t - z)$, t – произвольная постоянная разделения. Для S и W получается система обыкновенных дифференциальных уравнений.

$$\left. \begin{aligned} \frac{d^2 S}{ds^2} + k^2 v^2 S - 2k\varepsilon \frac{dW}{ds} &= 0 \\ \frac{d^2 W}{ds^2} + k^2 v^2 W + 2k\varepsilon \frac{dS}{ds} &= 0 \end{aligned} \right\}, \quad (16)$$

где для краткости записи введены обозначения:

$$\varepsilon = \varepsilon(s) = \frac{\kappa}{k}(k_2 - k_1), \quad (17)$$

$$v = \sqrt{1 - \kappa^2 + \frac{t}{M^2}}, \quad (18)$$

заменяем в (16) $\frac{d}{ds} \rightarrow -jkp$ и получим символическую систему линейных алгебраических уравнений:

$$\left. \begin{aligned} (v^2 - p^2)S + j2\varepsilon p W &= 0 \\ -j2\varepsilon p S + (v^2 - p^2)W &= 0 \end{aligned} \right\}, \quad (19)$$

которая имеет нетривиальные решения, если равен нулю ее детерминант, т. е. $v^2 - p^2 \mp 2\varepsilon p = 0$. Вычитая из левой части этого уравнения пренебрежимо малую в рассматриваемом приближении величину $\varepsilon^2 = O(\lambda^2/\rho^2)$, найдем условия разрешимости системы (19):

$$p = \text{sign}(p \mp \varepsilon) \cdot v \mp \varepsilon, \quad (20)$$

где v является арифметическим значением корня (18). Унитарная матрица собственных векторов матрицы системы уравнений (19):

$$\mathbf{X} = \frac{1}{\sqrt{2}} \begin{pmatrix} -j & j \\ 1 & 1 \end{pmatrix}, \quad (21)$$

диагонализует эту систему уравнений заменой неизвестных функций:

$$\begin{pmatrix} S \\ W \end{pmatrix} = \mathbf{X} \begin{pmatrix} y_1 \\ y_2 \end{pmatrix}. \quad (22)$$

Новые неизвестные функции удовлетворяют независимым дифференциальным уравнениям:

$$\frac{d^2 y_{1,2}}{ds^2} \mp j2k\varepsilon \frac{dy_{1,2}}{ds} + k^2 v^2 y_{1,2} = 0, \quad (23)$$

знак « \rightarrow » соответствует $y_1, + - y_2$.

В соответствии с методом канонического оператора Маслова [4] и с учетом (20) асимптотические частные решения этого дифференциального уравнения:

$$y_{1,2}(s, t) = \sqrt{\frac{k}{4\pi}} \int_{-\infty}^{\infty} \left(v_s^2 \right)^{\frac{1}{2}}_{s=s(p,t)} e^{-jk\Phi_{1,2}(p,s,t)} dp, \quad (24)$$

где

$$\Phi_{1,2}(p, s, t) = \int_{s_{01,2}(t)}^{s_{1,2}(p,t)} [\text{sign}(p \mp \varepsilon) \nu(s', t) \mp \varepsilon(s')] ds' + p \left[s - s_{1,2}(p, t) \right], \quad (25)$$

$s_{1,2}(p, t)$ – решение алгебраического уравнения (20) относительно неизвестной величины s ; а $s_{01,2}(t)$ определяются из уравнения $\nu(s, t) \pm \varepsilon(s) = 0$. Общее решение системы уравнений (13), (14) теперь можно записать как:

$$\begin{pmatrix} \Psi \\ \Omega \end{pmatrix} = \mathbf{X} \sqrt{\frac{k}{4\pi}} \int_{-\infty}^{\infty} \int_{-\infty}^{\infty} \left(v_s^2 \right)^{\frac{1}{2}}_{s=s(p,t)} Z(t-z) \begin{pmatrix} C_1(t) e^{-jk\Phi_1(p,s,t)} \\ C_2(t) e^{-jk\Phi_2(p,s,t)} \end{pmatrix} dp dt, \quad (26)$$

где $C_{1,2}(t)$ – произвольные функции. Изменим порядок интегрирования и в верхнем интеграле выполним замену переменной интегрирования $t' = t - x$, в нижнем – $t' = t + x$, где:

$$x = x(s(p, t), p) = 2M^2 p \varepsilon = \frac{k\mathcal{P}}{M} R(k_2 - k_1). \quad (27)$$

В силу стационарности (25) как функционала от s и малости $x = O(1/M)$, $s(p, t' \pm x)$ в (25) можно заменить на решение $s(p, t')$ уравнения:

$$v^2 \left(s(p) \right) = p^2. \quad (28)$$

Также $s_0(t' \pm x)$ можно заменить на решение $s_0(t')$ уравнения $\nu(s, t') = 0$. В каустической области ($s - s_0 \sim km_s$) будет справедливо: $k\Phi_{1,2}(p, s, t' \pm x) = k\Phi(p, s, t') + O(1/M^4)$, где:

$$\Phi(p, s) = \text{sign } p \int_{s_0}^{s(p)} \nu(s') ds' + p \left[s - s(p) \right]. \quad (29)$$

В расширенной каустической области $s - s_0 \sim km_s^2$ погрешность равенства увеличивается до $O(1/M^2)$. Отличим t от t' в амплитудном множителе в (26) можно пренебречь. В результате (опуская штрих у новой переменной t') представим частные решения системы дифференциальных уравнений (13), (14) в виде:

$$\begin{pmatrix} \Psi(s, z, t) \\ \Omega(s, z, t) \end{pmatrix} = \sqrt{\frac{k}{4\pi}} \int_{-\infty}^{\infty} (v_s^2)^{-\frac{1}{2}} \mathbf{X} \begin{pmatrix} C_1 Z(t + x - z) \\ C_2 Z(t - x - z) \end{pmatrix} e^{-jk\Phi(p, s, t)} dp. \quad (30)$$

Проверим, что функции (30) после выполненных манипуляций остаются асимптотическими решениями системы дифференциальных уравнений (13), (14). Для этого подставим их в эти уравнения, изменим порядок интегрирования и дифференцирования и выполним дифференцирование по s . Поскольку точки стационарной фазы интеграла являются решением уравнения $\overset{\circ}{s}(p_0, t) = s$, заменим в медленноменяющихся коэффициентах дифференциальных уравнений аргумент s на $\overset{\circ}{s}(p, t)$. После этого, используя (18) и (27), убедимся, что подынтегральные выражения тождественно равны нулю, что и означает асимптотическое удовлетворение системы уравнений.

Типы волн вблизи поверхности. Касательные к поверхности компоненты поля, соответствующие потенциалам (30), можно записать в матричной форме

$$\begin{pmatrix} E_s \\ E_\varphi \end{pmatrix} = \frac{1}{\sqrt{k\rho}} \mathbf{W}_E \begin{pmatrix} \Psi \\ \Omega \end{pmatrix} e^{-jm\varphi}, \quad \begin{pmatrix} H_s \\ H_\varphi \end{pmatrix} = \frac{1}{\sqrt{k\rho}} \mathbf{W}_H \begin{pmatrix} \Psi \\ \Omega \end{pmatrix} e^{-jm\varphi}, \quad (31)$$

Где, в соответствии с (2), отбрасывая несущественный множитель $-k^2$,

$$\mathbf{W}_E \cong \begin{pmatrix} -\frac{1}{Mk} \frac{\partial^2}{\partial s \partial z} & \kappa \\ \frac{j\kappa}{M} \frac{\partial}{\partial z} & -\frac{j}{k} \frac{\partial}{\partial s} \end{pmatrix}, \quad \mathbf{W}_H \cong \frac{1}{Z} \begin{pmatrix} -\kappa & -\frac{1}{Mk} \frac{\partial^2}{\partial s \partial z} \\ \frac{j}{k} \frac{\partial}{\partial s} & \frac{j\kappa}{M} \frac{\partial}{\partial z} \end{pmatrix}. \quad (32)$$

Внося дифференциальные операции под знак интеграла по p , частично заменим их на алгебраические:

$$\tilde{\mathbf{W}}_E = \begin{pmatrix} \frac{jp}{M} \frac{\partial}{\partial z} & \kappa \\ \frac{j\kappa}{M} \frac{\partial}{\partial z} & -p \end{pmatrix}, \quad \tilde{\mathbf{W}}_H = \frac{1}{Z} \begin{pmatrix} -\kappa & \frac{jp}{M} \frac{\partial}{\partial z} \\ p & \frac{j\kappa}{M} \frac{\partial}{\partial z} \end{pmatrix}. \quad (33)$$

Введем четыре независимых решения в виде стоячих и уходящих от поверхности волн. Для стоячих волн первого типа будем полагать в (30) (индекс волны $j = 1$): $Z(z, t) = \varphi_1(z, t)$ и $C_1(t) = 1$, $\tilde{N}_2(t) = -1$; волн второго типа (индекс волны $j = 2$): $Z(z, t) = \varphi_2(z, t)$ и $C_1(t) = 1$, $\tilde{N}_2(t) = 1$, где

$$\begin{aligned} \varphi_1(z, t) &= w_2'(t)w_1(t-z) - w_1'(t)w_2(t-z) \\ \varphi_2(z, t) &= w_2(t)w_1(t-z) - w_1(t)w_2(t-z) \end{aligned} \quad (34)$$

Этим обеспечивается выполнение граничных условий для электрического поля стоячих волн на поверхности $E_{s,\varphi} = 0$ при $z = 0$. Компоненты электромагнитного поля введенных волн представляются в виде спектрального разложения:

$$\left(\vec{E}_m^{ij}, \vec{H}_m^{ij} \right) = \sqrt{\frac{k}{4\pi}} \int_{-\infty}^{\infty} (v_s^2)^{-\frac{1}{2}} \left(\vec{e}^{ij}, \vec{h}^{ij} \right) e^{-jk\Phi(p,s,t)} dp e^{-jm\varphi}, \quad (35)$$

где функции $\vec{e}^{ij}, \vec{h}^{ij}$ являются спектральными амплитудами волн, нижним индексом s обозначена частная производная:

$$v_s^2 = \frac{dv^2}{ds} = \frac{2\kappa^2}{r} - \frac{2}{3} \frac{t}{M^2 r_R}, \quad (36)$$

$$r_R = \left(\frac{d \ln R}{ds} \right)^{-1}, \quad (37)$$

$$r = \left(\frac{d \ln \rho}{ds} \right)^{-1} = \frac{\rho}{\sin \alpha} \quad (38)$$

r – расстояние от точки на поверхности до оси вращения по касательной к образующей ($r \geq \rho$), α – угол между касательной и осью вращения. В медленноменяющемся параметре M можно считать, что $s = s(p, t)$, так как это равенство определяет точки стационарной фазы. Наиболее простые выражения для касательных компонент спектральных амплитуд волн получаются в проекциях на повернутые вокруг местной нормали касательные орты:

$$\begin{pmatrix} \hat{i}_\xi \\ \hat{i}_\eta \end{pmatrix} = \mathbf{T} \begin{pmatrix} \hat{s} \\ \hat{\phi} \end{pmatrix}, \quad \mathbf{T} = \begin{pmatrix} \cos \phi & \sin \phi \\ -\sin \phi & \cos \phi \end{pmatrix}, \quad (39)$$

где

$$\sin \phi = \frac{\kappa}{\sqrt{\kappa^2 + p^2}}, \quad \cos \phi = \frac{p}{\sqrt{\kappa^2 + p^2}}. \quad (40)$$

Для стоячих волн эти компоненты:

$$\begin{pmatrix} \tilde{e}_\xi^{11} & \tilde{e}_\xi^{12} \\ \tilde{e}_\eta^{11} & \tilde{e}_\eta^{12} \end{pmatrix} = \frac{1}{\sqrt{2Mk\rho}} \times \begin{pmatrix} \frac{1}{M} [\varphi_1'(z, t-x) + \varphi_1'(z, t+x)] & -\frac{1}{M} [\varphi_2'(z, t-x) - \varphi_2'(z, t+x)] \\ [\varphi_1(z, t-x) - \varphi_1(z, t+x)] & -[\varphi_2(z, t-x) + \varphi_2(z, t+x)] \end{pmatrix}, \quad (41)$$

$$\begin{pmatrix} \tilde{h}_\xi^{11} & \tilde{h}_\xi^{12} \\ \tilde{h}_\eta^{11} & \tilde{h}_\eta^{12} \end{pmatrix} = \frac{j}{Z\sqrt{2Mk\rho}} \times \begin{pmatrix} -\frac{1}{M} [\varphi_1'(z, t-x) - \varphi_1'(z, t+x)] & \frac{1}{M} [\varphi_2'(z, t-x) + \varphi_2'(z, t+x)] \\ -[\varphi_1(z, t-x) + \varphi_1(z, t+x)] & [\varphi_2(z, t-x) - \varphi_2(z, t+x)] \end{pmatrix}, \quad (42)$$

где штрих означает производную по z . Для уходящих волн будем полагать $Z(z, t) = w_2(t - z)$, а коэффициенты $C_{2j}(t)$ выберем из условий: $\tilde{e}_\eta = 0$ ($j = 1$); $\tilde{e}_\xi = 0$ ($j = 2$) при $z = 0$. Тогда при соответствующей нормировке:

$$\begin{pmatrix} \tilde{e}_\xi^{21} & \tilde{e}_\xi^{22} \\ \tilde{e}_\eta^{21} & \tilde{e}_\eta^{22} \end{pmatrix} = \frac{1}{\sqrt{2Mk\rho}} \begin{pmatrix} -\frac{1}{M} \frac{\partial f_{11}(t, x, z)}{\partial z} & -\frac{1}{M} \frac{\partial f_{12}(t, x, z)}{\partial z} \\ f_{21}(t, x, z) & f_{22}(t, x, z) \end{pmatrix}, \quad (43)$$

$$\begin{pmatrix} \tilde{h}_\xi^{21} & \tilde{h}_\xi^{22} \\ \tilde{h}_\eta^{21} & \tilde{h}_\eta^{22} \end{pmatrix} = \frac{j}{Z\sqrt{2Mk\rho}} \begin{pmatrix} -\frac{1}{M} \frac{\partial f_{21}(t, x, z)}{\partial z} & -\frac{1}{M} \frac{\partial f_{22}(t, x, z)}{\partial z} \\ f_{11}(t, x, z) & f_{12}(t, x, z) \end{pmatrix}, \quad (44)$$

где

$$f_{11}(t, x, z) = \frac{w_2(t+x-z)w_2(t-x) + w_2(t-x-z)w_2(t+x)}{w_2'(t+x)w_2(t-x) + w_2(t+x)w_2'(t-x)},$$

$$f_{12}(t, x, z) = \frac{w_2(t+x-z)w_2'(t-x) - w_2(t-x-z)w_2'(t+x)}{w_2'(t+x)w_2(t-x) + w_2(t+x)w_2'(t-x)}, \quad (45)$$

$$f_{21}(t, x, z) = \frac{w_2(t+x-z)w_2(t-x) - w_2(t-x-z)w_2(t+x)}{w_2'(t+x)w_2(t-x) + w_2(t+x)w_2'(t-x)},$$

$$f_{22}(t, x, z) = \frac{w_2(t+x-z)w_2'(t-x) + w_2(t-x-z)w_2'(t+x)}{w_2'(t+x)w_2(t-x) + w_2(t+x)w_2'(t-x)}.$$

Дополнительный медленноменяющийся множитель $\left(M\sqrt{\kappa^2 + p^2}\right)^{-1/2}$ введен в эти выражения для получения требуемого убывания подынтегрального выражения интегралов для норм этих волн на бесконечности.

Мы рассмотрели решение задачи в переходной $t \sim 1$ и расширенной каустической области $s - s_0 \sim km_s^2$. Однако, легко видеть, что в области $t \gg 1$ и вдали от каустики оно переходит в геометрооптическое решение и является, таким образом, приближенным равномерным асимптотическим решением для электромагнитного поля в приповерхностном слое поверхности S . Вывод выражений поля (35), (41) – (44) не зависит от того, имеет ли поверхность вращения один или два полюса. Как мы увидим ниже, для поверхности с одним полюсом эти поля ортогональны и могут рассматриваться как собственные функции поля вблизи поверхности. Для поверхности с двумя полюсами они будут ортогональны для счетного множества значений переменной разделения t . Однако, при больших размерах поверхности можно приближенно считать спектр непрерывным и пользоваться разложением полного поля (1).

Используя малость величины $x = O(1/M)$, разложим функции f_{ij} в ряд Тейлора по x и, ограничиваясь двумя первыми членами, запишем выражения для компонент волн (41) – (44) с точностью до величин $\sim O(1/M^2)$:

$$\begin{pmatrix} \tilde{e}_\xi^{11} & \tilde{e}_\xi^{12} \\ \tilde{e}_\eta^{11} & \tilde{e}_\eta^{12} \end{pmatrix} = \frac{\sqrt{2}}{\sqrt{Mk\rho}} \begin{pmatrix} \frac{1}{M} \varphi_1'(z, t) & \frac{x}{M} \frac{\partial \varphi_2'(z, t)}{\partial t} \\ -x \frac{\partial \varphi_1(z, t)}{\partial t} & \varphi_2(z, t) \end{pmatrix}, \quad (46)$$

$$\begin{pmatrix} \tilde{h}_\xi^{11} & \tilde{h}_\xi^{12} \\ \tilde{h}_\eta^{11} & \tilde{h}_\eta^{12} \end{pmatrix} = \frac{j\sqrt{2}}{Z\sqrt{Mk\rho}} \begin{pmatrix} \frac{x}{M} \frac{\partial \varphi_1'(z, t)}{\partial t} & \frac{1}{M} \varphi_2'(z, t) \\ -\varphi_1(z, t) & -x \frac{\partial \varphi_2(z, t)}{\partial t} \end{pmatrix}, \quad (47)$$

$$\begin{pmatrix} \tilde{e}_\xi^{21} & \tilde{e}_\xi^{22} \\ \tilde{e}_\eta^{21} & \tilde{e}_\eta^{22} \end{pmatrix} = \frac{1}{\sqrt{2Mk\rho}} \times \begin{pmatrix} \frac{1}{M} \frac{w_2'(t-z)}{w_2'(t)} & -\frac{xt}{M} \left(\frac{w_2'(t-z)}{w_2'(t)} - \frac{w_2(t-z)}{w_2(t)} \right) \\ -x \left(\frac{w_2(t-z)}{w_2(t)} - \frac{w_2'(t-z)}{w_2'(t)} \right) & \frac{w_2(t-z)}{w_2(t)} \end{pmatrix}, \quad (48)$$

$$\begin{pmatrix} \tilde{h}_\xi^{21} & \tilde{h}_\xi^{22} \\ \tilde{h}_\eta^{21} & \tilde{h}_\eta^{22} \end{pmatrix} = \frac{j}{Z\sqrt{2Mk\rho}} \times \begin{pmatrix} -\frac{x}{M} \left(\frac{w_2'(t-z)}{w_2(t)} - \frac{tw_2(t-z)}{w_2'(t)} \right) & \frac{1}{M} \frac{w_2'(t-z)}{w_2(t)} \\ \frac{w_2(t-z)}{w_2'(t)} & -x \left(\frac{w_2'(t-z)}{w_2(t)} - \frac{tw_2(t-z)}{w_2'(t)} \right) \end{pmatrix}, \quad (49)$$

где штрих обозначает производную, $\varphi_i'(z, t) = \partial\varphi_i(z, t) / \partial z$.

Выполнив равномерное асимптотическое интегрирование в (35) и учитывая, что интеграл от четных функций p выражается через функцию Эйри, а от нечетных функций – через ее производную [3,6], получим представление собственных функций, не содержащее операции интегрирования:

$$\left(\vec{E}_m^{ij}(t), \vec{H}_m^{ij}(t) \right) = \left(\vec{e}^{ij}, \vec{h}^{ij} \right) e^{-jm\varphi}, \quad (50)$$

$$\begin{pmatrix} e_s^{i1} & e_s^{i2} \\ e_\varphi^{i1} & e_\varphi^{i2} \end{pmatrix} = \begin{pmatrix} \frac{g'}{j\nu} \tilde{e}_s^{i1} & g \tilde{e}_s^{i2} \\ g \tilde{e}_\varphi^{i1} & \frac{g'}{j\nu} \tilde{e}_\varphi^{i2} \end{pmatrix}, \quad \begin{pmatrix} h_s^{i1} & h_s^{i2} \\ h_\varphi^{i1} & h_\varphi^{i2} \end{pmatrix} = \begin{pmatrix} g \tilde{h}_s^{i1} & \frac{g'}{j\nu} \tilde{h}_s^{i2} \\ \frac{g'}{j\nu} \tilde{h}_\varphi^{i1} & g \tilde{h}_\varphi^{i2} \end{pmatrix}, \quad (51)$$

где

$$\begin{pmatrix} \tilde{e}_s^{i1} & \tilde{e}_s^{i2} \\ \tilde{e}_\varphi^{i1} & \tilde{e}_\varphi^{i2} \end{pmatrix} = \mathbf{T}^T \begin{pmatrix} \tilde{e}_\xi^{i1} & \tilde{e}_\xi^{i2} \\ \tilde{e}_\eta^{i1} & \tilde{e}_\eta^{i2} \end{pmatrix}, \quad \begin{pmatrix} \tilde{h}_s^{i1} & \tilde{h}_s^{i2} \\ \tilde{h}_\varphi^{i1} & \tilde{h}_\varphi^{i2} \end{pmatrix} = \mathbf{T}^T \begin{pmatrix} \tilde{h}_\xi^{i1} & \tilde{h}_\xi^{i2} \\ \tilde{h}_\eta^{i1} & \tilde{h}_\eta^{i2} \end{pmatrix}, \quad (52)$$

в функциях \tilde{e}_ξ^{ij} , \tilde{e}_η^{ij} , \tilde{h}_ξ^{ij} , \tilde{h}_η^{ij} (43) – (49) и \mathbf{T} (39) аргумент $p = \nu(s)$,

$$g(s, t) = \nu^{-\frac{1}{2}} \zeta^{-\frac{1}{4}} \nu(-\zeta), \quad (53)$$

$$g' = k^{-1} \partial g / \partial s, \quad \zeta = \left(\frac{3}{2} k \int_{s_0}^s \nu(s') ds' \right)^{\frac{2}{3}}. \quad (54)$$

Представление (50) – (52) является равномерным асимптотическим приближением собственных функций поля для поверхности вращения с одним полюсом, так как функция $g(t, s)$ (51) является аналитической в том числе на каустике $s = s_0$, на которой $\nu = 0$ [3]. Для выпуклой поверхности с двумя полюсами имеется точка экстремума образующей. При совпадении s_0 с этой точкой, нарушается аналитичность функции $g(t, s)$: она имеет разрыв второго рода. Для получения выражений, справедливых и в этих точках необходимо повысить порядок асимптотического интегрирования в (35). В этом случае место функций Эйри займут функции параболического цилиндра [5]. Мы не рассматриваем это приближение из-за сложности получающихся выражений, а также потому что, как показано в [3], численные результаты можно получить прямо из интегрального представления (35).

Из полученных выше выражений видно, что члены, описывающие отличие собственных функций от E - и H -волн, являются малыми поправками, т. к. они пропорциональны $x = O(1/M)$. Как следует из (27), параметр x обращается в нуль в случае равенства главных кривизн поверхности вращения $k_1 = k_2$, что имеет место только для сферической поверхности. Это соответствует известному факту, что электромагнитное поле над проводящей сферической поверхностью разделяется на сумму E - и H -волн относительно радиальной координаты, совпадающей с направлением нормали к поверхности.

Ортогональность и нормы. Волны (35) ортогональны между собой в смысле леммы Лоренца для поверхности вращения с одним полюсом. Примеры образующей такой поверхности показаны на рис. 1. Интегралы

$$J_{mm'}^{j, i' j'}(t, t') = - \iint_S \left\{ \left[\vec{E}_m^{ij}(t), \vec{H}_m^{i' j'}(t') \right] - \left[\vec{E}_m^{i' j'}(t), \vec{H}_m^{ij}(t') \right] \right\} \vec{n} dS, \quad (55)$$

очевидно, равны нулю при $m \neq -m'$. При $t \neq t'$ они равны нулю в силу леммы Лоренца и различного характера зависимости этих полей от z [2]. При $m = -m'$, $t = t'$ подставим сюда (35) и, проинтегрировав по φ , получим:

$$J_{m(-m)}^{ij,i'j'}(t,t) = \frac{1}{2} \int_{-\infty}^{\infty} \int_{-\infty}^{\infty} (v_s^2)^{-\frac{1}{2}}_{s=s(p,t)} (v_s^2)^{-\frac{1}{2}}_{s=s(p',t)} \tilde{n}_{i'j'}^{ij} \int_0^{\infty} e^{-jk[\Phi(p,s,t)+\Phi(p',s,t)]} ds dp dp', \quad (56)$$

где

$$\tilde{n}_{i'j'}^{ij}(p,p') = -k\rho \left\{ \left[\vec{e}_m^{ij}(p,t), \vec{h}_{-m}^{i'j'}(p',t) \right] - \left[\vec{e}_{-m}^{i'j'}(p',t), \vec{h}_m^{ij}(p,t) \right] \right\} \vec{n}. \quad (57)$$

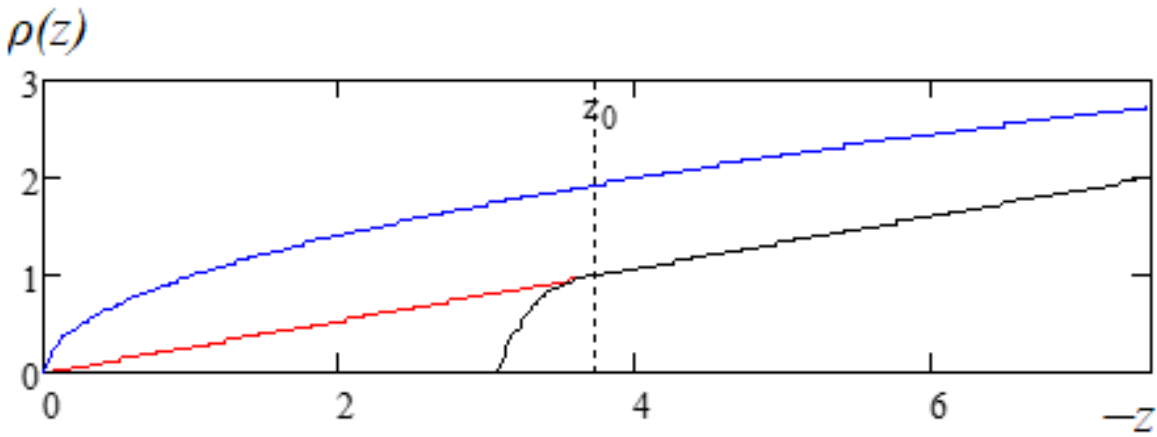


Рис. 1. Образующие поверхностей вращения с одним полюсом: красная линия – конус, чёрная линия – «усеченный» конус с гладкой «шапочкой», синяя линия – параболоид

Если при вычислении внутреннего интеграла в (54) расширить нижний предел интегрирования до $-\infty$ и учесть, что $\int_{-\infty}^{\infty} e^{-jks(p+p')} ds = \frac{2\pi}{k} \delta(p+p')$, то получим:

$$J_{m(-m)}^{ij,i'j'}(t,t) = \frac{\pi}{k} \int_{-\infty}^{\infty} (v_s^2)^{-1}_{s=s(p,t)} \tilde{n}_{i'j'}^{ij}(p,-p) dp. \quad (58)$$

Так как $x(-m,-p) = x(m,p)$, $|\Gamma|=1$, то:

$$\tilde{n}_{i'j'}^{ij}(p,-p) = k\rho \left\{ \begin{matrix} \tilde{e}_{\xi}^{i'j'} & \tilde{h}_{\xi}^{ij} \\ \tilde{e}_{\eta}^{i'j'} & \tilde{h}_{\eta}^{ij} \end{matrix} \right| - \left| \begin{matrix} \tilde{e}_{\xi}^{ij} & \tilde{h}_{\xi}^{i'j'} \\ \tilde{e}_{\eta}^{ij} & \tilde{h}_{\eta}^{i'j'} \end{matrix} \right\}, \quad (59)$$

где аргументы спектральных амплитуд в правой части равенства $p' = p$ и m . Прямой подстановкой (46) – (49) нетрудно убедиться, что все величины $\tilde{n}_{i'j'}^{ij}$, кроме $\tilde{n}_{1j}^{2j} = -\tilde{n}_{2j}^{1j}$, равны нулю, а:

$$\tilde{n}_{1j}^{2i} = \frac{2}{ZM^2}. \quad (60)$$

Для вычисления интегралов (58) в этом случае сначала заменим переменную интегрирования p на s по формуле $s = \overset{\circ}{s}(p, t)$; с учетом (28) $ds = \frac{v_s^2}{2p} dp$. Переходя далее от s к переменной интегрирования:

$$\therefore \xi = \frac{k}{2} \int_{s_0}^s \frac{ds'}{M^2 v}, \quad (61)$$

получим:

$$J_{m(-m)}^{2j,1j}(t, t) = \frac{\pi}{k} \int_{s_0}^{\infty} \frac{\tilde{n}_{2j}^{1j}}{v} ds = \frac{2\pi}{kZ} \int_{s_0}^{\infty} \frac{ds}{vM^2} = \frac{4\pi}{Zk^2} \int_0^{\infty} d\xi. \quad (62)$$

Вернемся теперь к $t' \neq t$, $t' \approx t$ в фазовом множителе в (56) и используем, что при $t \approx t'$

$$k\sigma' = k\sigma(s, t') \cong k\sigma(s, t) + k \frac{\partial \sigma}{\partial t} (t - t') = k\sigma + \xi(t - t').$$

В результате получим:

$$J_{m(-m)}^{2j,1j}(t, t') = \frac{4\pi}{Zk^2} \int_0^{\infty} \cos(\xi(t - t')) d\xi = \frac{4\pi^2}{Zk^2} \delta(t - t'). \quad (63)$$

Поскольку расширение пределов интегрирования до минус бесконечности не вполне обосновано, получим соотношения для норм также другим путем. С использованием представления волн (50) – (52), запишем:

$$J_{m(-m)}^{ij, i'j'}(t, t) = \frac{1}{2} \int_0^{\infty} n_{i'j'}^{ij} ds, \quad (64)$$

где

$$n_{i'j'}^{ij} = k\rho \left\{ \begin{array}{c|c} e_{-ms}^{i'j'} & h_{ms}^{ij} \\ \hline e_{-m\varphi}^{i'j'} & e_{m\varphi}^{ij} \end{array} \right. - \left. \begin{array}{c|c} e_{ms}^{ij} & h_{-ms}^{i'j'} \\ \hline e_{m\varphi}^{ij} & e_{-m\varphi}^{i'j'} \end{array} \right\}. \quad (65)$$

Легко проверить, что $n_{i'j'}^{ij} = 0$. Далее, с точностью до величин $O(x^2) = O(M^{-2})$:

$$n_{1j}^{2j} = \frac{4}{ZM^2(\kappa^2 + \nu^2)} (\kappa^2 g^2 + g'^2). \quad (66)$$

Выражения (64), (66) совпадают с аналогичным выражением в [3] и аналогично преобразуется к формуле (63). Коэффициент

$$n_{12}^{11} = \frac{2\kappa g g' \varphi_1 \varphi_2}{ZM(\kappa^2 + \nu^2)} \quad (67)$$

содержит произведение $g g'$, которое является быстроосциллирующей функцией, так что интеграл от (67) асимптотически равен нулю. Это же произведение $g g'$ содержится в n_{22}^{11} и интеграл от него также асимптотически равен нулю. Таким образом, второй метод расчета дает аналогичный результат, совпадающий с соотношением ортогональности для E - и H -волн [1]:

$$J_{mm'}^{ij,i'j'}(t,t') = \frac{4\pi^2}{Zk^2} (i' - i) \delta_{m'(-m)} \delta_{i'(3-i)} \delta_{j'j} \delta(t - t'). \quad (68)$$

2. Электромагнитное поле источников вблизи поверхности

Наибольший интерес представляют электромагнитное поле поверхностного магнитного поля, описывающего излучение из отверстий в проводящей поверхности S , и электрического тока, описывающего излучение вибраторов и токов поляризации диэлектриков. Выражение для электромагнитного поля заданного поверхностного магнитного тока получено в [3]. Оно получается из (1) при равных нулю коэффициентах, соответствующих стоячим волнам

$$\left(\vec{E}, \vec{H} \right) = \sum_{m=-\infty}^{\infty} \sum_{l=1}^2 \int_{-\infty}^{\infty} C_m^{(2l)}(t) \left(\vec{e}_m^{(2l)}, \vec{h}_m^{(2l)} \right) dt e^{-jm\varphi}. \quad (69)$$

Коэффициенты разложения найдены с помощью леммы Лоренца и равны:

$$C_m^{(2j)}(t) = \frac{Zk^2}{4\pi^2} \int_S \vec{J}^m h_{-m}^{(1j)} e^{jm\varphi} dS, \quad (70)$$

где \vec{J}^m – поверхностная плотность магнитного тока. Подстановка (70) в (69) приводит к представлению поля в виде:

$$\left(\vec{E}, \vec{H} \right) = \int_S \vec{J}^m(s', \varphi') (\mathbf{E}, \mathbf{H}) dS', \quad (71)$$

где

$$(\mathbf{E}, \mathbf{H}) = \frac{Zk^2}{4\pi^2} \sum_{m=-\infty}^{\infty} \sum_{l=1}^2 \int_{-\infty}^{\infty} h_{-m}^{(1l)}(s') \cdot \left(e_m^{(2l)}(s), h_m^{(2l)}(s) \right) dt e^{-jm(\varphi-\varphi')}, \quad (72)$$

точка означает прямое (тензорное) произведение векторных функций. Величины \mathbf{E}, \mathbf{H} представляют собой функции Грина для поверхностных магнитных источников.

Аналогичным образом, применением леммы Лоренца к полю (1) и вспомогательному полю $\vec{E}_{-m}^{(2l)}, \vec{H}_{-m}^{(2l)}$ в объеме, ограниченном поверхностями S и $S(n)$: $n' = n$, а затем к полю $\vec{E}_{-m}^{(1l)}, \vec{H}_{-m}^{(1l)}$ в объеме, между поверхностью $S(n)$ и поверхностью $S(n_0)$, охватывающей область нахождения токов, с учетом условий ортогональности (68), получим выражение для электромагнитного поля заданных электрических токов:

$$\left(\vec{E}, \vec{H} \right) = \int_V \vec{j}^e(s', \varphi') (\mathbf{E}, \mathbf{H}) dV', \quad (73)$$

где V – область протекания заданных токов \vec{j}^e ,

$$(\mathbf{E}, \mathbf{H}) = -\frac{Zk^2}{4\pi^2} \sum_{m=-\infty}^{\infty} e^{-jm(\varphi-\varphi')} \sum_{l=1}^2 \int_{-\infty}^{\infty} \left\{ \begin{array}{l} \vec{e}_{-m}^{(2l)}(s') \cdot \left(e_m^{(1l)}(s), h_m^{(1l)}(s) \right) \\ \vec{e}_{-m}^{(1l)}(s') \cdot \left(e_m^{(2l)}(s), h_m^{(2l)}(s) \right) \end{array} \right\} dt, \quad (74)$$

верхний ряд формул соответствует $z < z'$, а нижний ряд формул – $z > z'$. Величины \mathbf{E}, \mathbf{H} (71) представляют собой функции Грина для электрических токов при отсутствии нормальной составляющей тока. Для электрических токов,

ориентированных вдоль нормали, к нормальной составляющей электрического поля (73) необходимо прибавить слагаемое [2]:

$$\Delta E_n = \frac{j}{\omega \varepsilon} j_n^e \quad (75)$$

В случае достаточно близкой координаты точки наблюдения s к координате точки источника s' , можно получить также другое представление электромагнитного поля. Следуя ходу преобразований, приведенных в [3], функции Грина (72), (74) можно представить в виде:

$$\mathbf{E} = \mathbf{E}^{(1)} - \mathbf{E}^{(2)}, \quad \mathbf{H} = \mathbf{H}^{(1)} - \mathbf{H}^{(2)}, \quad (76)$$

где $\mathbf{E}^{(1)}, \mathbf{H}^{(1)}$ физически соответствуют волне, прошедшей в точку наблюдения по кратчайшему пути, а $\mathbf{E}^{(2)}, \mathbf{H}^{(2)}$ – волне, прошедшей через отражение от каустики поверхностных лучей. Для функции Грина магнитного диполя, касательного к поверхности:

$$\begin{aligned} (\mathbf{E}^{(1)}, \mathbf{H}^{(1)}) &\cong \frac{Zk^2}{8\pi^2} M(s)M(s') \sum_{m=-\infty}^{\infty} e^{-jm(\varphi-\varphi')} \times \\ &\times \sum_{l=1}^2 \int_{-\infty}^{\infty} \vec{h}_{-m}^{(1l)}(s', p) \cdot \left(\vec{e}_m^{(2l)}, \vec{h}_m^{(2l)} \right)(s, p) e^{-jk(s-s')p} dp, \end{aligned} \quad (77)$$

$$\begin{aligned} (\mathbf{E}^{(2)}, \mathbf{H}^{(2)}) &\cong -j \frac{Zk^2}{8\pi^2} M(s)M(s') \sum_{m=-\infty}^{\infty} e^{-jm(\varphi-\varphi')} \times \\ &\times \sum_{l=1}^2 \int_{-\infty}^{\infty} \vec{h}_{-m}^{(1l)}(s', -p) \cdot \left(\vec{e}_m^{(2l)}, \vec{h}_m^{(2l)} \right)(s, p) e^{-jk(\sigma+\sigma')} dp. \end{aligned} \quad (78)$$

Для функции Грина электрического диполя (без слагаемого, учитывающего (75))

$$\begin{aligned} (\mathbf{E}^{(1)}, \mathbf{H}^{(1)}) &\cong -\frac{Zk^2}{8\pi^2} M(s)M(s') \sum_{m=-\infty}^{\infty} e^{-jm(\varphi-\varphi')} \times \\ &\times \sum_{l=1}^2 \int_{-\infty}^{\infty} \left\{ \begin{array}{l} \vec{e}_{-m}^{(2l)}(s', p) \cdot \left(\vec{e}_m^{(1l)}, \vec{h}_m^{(1l)} \right)(s, p) \\ \vec{e}_{-m}^{(1l)}(s', p) \cdot \left(\vec{e}_m^{(2l)}, \vec{h}_m^{(2l)} \right)(s, p) \end{array} \right\} e^{-jk(s-s')p} dp, \end{aligned} \quad (79)$$

$$\begin{aligned} (\mathbf{E}^{(2)}, \mathbf{H}^{(2)}) &\cong j \frac{Zk^2}{8\pi^2} M(s)M(s') \sum_{m=-\infty}^{\infty} e^{-jm(\varphi-\varphi')} \times \\ &\times \sum_{l=1}^2 \int_{-\infty}^{\infty} \left\{ \begin{array}{l} \vec{e}_{-m}^{(2l)}(s', -p) \cdot \left(\vec{e}_m^{(1l)}, \vec{h}_m^{(1l)} \right)(s, p) \\ \vec{e}_{-m}^{(1l)}(s', -p) \cdot \left(\vec{e}_m^{(2l)}, \vec{h}_m^{(2l)} \right)(s, p) \end{array} \right\} e^{-jk(\sigma+\sigma')} dp, \end{aligned} \quad (80)$$

верхние ряды формул соответствует $z < z'$, а нижние – $z > z'$, а аргумент t в выражениях (43) – (49):

$$t = t(p) = M(s)M(s')(p^2 + \kappa(s)\kappa(s') - 1). \quad (81)$$

3. Взаимная проводимость кольцевых щелей на конусе

Применим полученные выражения для расчета собственной и взаимной проводимости кольцевых щелей (магнитных токов) на поверхности проводящего конуса с m -й гармоникой тока в щели. Большой параметр M :

$$M = k\rho(2m^2 \cos \alpha)^{-1/3}, \quad (82)$$

где α – угол между осью и образующей конуса,

$$\rho = r \sin \alpha, \quad (83)$$

ρ – радиус направляющей конуса, r – радиальная координата точки на поверхности конуса в сферической системе координат с центром в его вершине.

Параметр (27), учитывающий отличие собственных функций от E - и H -волн,

$$x = -\frac{p}{m}(2m^2 \cos \alpha)^{1/3}. \quad (84)$$

Для бесконечно узких щелей при $m \neq 0$, используя известную общую формулу для взаимной проводимости [7] и выражения магнитного поля (71), (77), найдем вклад прямой волны во взаимную проводимость:

$$\begin{aligned} Y_{21}^{(1)} &= 2j \frac{k}{Z} \sqrt{\rho_1 \rho_2 M_1 M_2} \int_0^{\infty} \left\{ p^2 \frac{w_2(t)}{w_2'(t)} - \frac{\kappa_1 \kappa_2}{M_1 M_2} \frac{w_2'(t)}{w_2(t)} + xp \left(\frac{\kappa_1}{M_1} + \frac{\kappa_2}{M_2} \right) y(t) \right\} \times \\ &\times \frac{\cos(k(r_2 - r_1)p)}{\sqrt{(\kappa_1^2 + p^2)(\kappa_2^2 + p^2)}} dp, \end{aligned} \quad (85)$$

где $\rho_1, \rho_2, \kappa_1, \kappa_2, M_1, M_2$ означает $\rho(r_1), \rho(r_2)$ и т.д., где r_1, r_2 – радиальные координаты первой и второй щели,

$$t = t(p) = M_1 M_2 (p^2 + \kappa_1 \kappa_2 - 1), \quad (86)$$

$$y(t) = \frac{w_2'(t)}{w_2(t)} - \frac{t w_2(t)}{w_2'(t)}. \quad (87)$$

Как обычно [9], (85) можно вычислить по теореме о вычетах. Отбрасывая малые порядка $1/M_1 M_2$, получим:

$$Y_{21}^{(1)} \cong \frac{\pi k}{Z} \frac{\sqrt{\rho_1 \rho_2}}{\sqrt{M_1 M_2}} \left\{ \begin{aligned} & \sum_{i=1}^{\infty} p_i' \left(C + \frac{1}{t_i'} \right) \exp(-j p_i' k |r_2 - r_1|) - \\ & - \sum_{i=1}^{\infty} \left(\frac{\kappa_1 \kappa_2}{M_1 M_2 p_i} + b p_i \right) \exp(-j p_i k |r_2 - r_1|) \end{aligned} \right\}, \quad (88)$$

где $p_i = p(t_i)$, $p_i' = p(t_i')$ – решения уравнения (86), t_i – нули функции Эйри $w_2(t)$, t_i' – нули производной функции Эйри $w_2'(t)$,

$$b = \frac{(2m^2 \cos \alpha)^{1/3}}{m} \left(\frac{\kappa_1}{M_1} + \frac{\kappa_2}{M_2} \right). \quad (89)$$

При $m = 0$, используя известную формулу для интеграла [8], получим явное выражение:

$$Y_{21}^{(1)} = 2 \frac{k}{Z} \sqrt{\rho_1 \rho_2} \int_0^{\infty} \frac{\cos(k(r_2 - r_1)p)}{\sqrt{1 - p^2}} dp = \frac{\pi k}{Z} \sqrt{\rho_1 \rho_2} H_0^{(2)}(k|r_2 - r_1|). \quad (90)$$

В приложении показано, что это выражение может быть получено как главный член асимптотики строгого решения для конуса методом собственных функций. При $r_1 = r_2$ (90) дает собственную проводимость, мнимая часть которой обращается в бесконечность, т.к. щели рассматриваются как бесконечно узкие.

Используя выражения магнитного поля (72), найдем другое выражение для взаимной проводимости кольцевых щелей:

$$Y_{21} = \frac{k}{Z} \sqrt{\frac{\rho_1 \rho_2}{M_1 M_2}} \int_{-\infty}^{\infty} \left\{ \begin{aligned} & g'(s_1, t) g'(s_2, t) \frac{w_2(t)}{w_2'(t)} - \frac{\kappa_1 \kappa_2}{M_1 M_2} g(s_1, t) g(s_2, t) \frac{w_2'(t)}{w_2(t)} + \\ & + x \left(g(s_1, t) g(s_2, t) \frac{\kappa_1}{M_1} + g'(s_1, t) g'(s_2, t) \frac{\kappa_2}{M_2} \right) y(t) \end{aligned} \right\} dt, \quad (91)$$

Применяя для вычисления интеграла теорему о вычетах, получим:

$$\begin{aligned}
 Y_{21} = & \frac{j2\pi k}{Z} \sqrt{\frac{\rho_1 \rho_2}{M_1 M_2}} \left\{ \sum_{i=1}^{\infty} \left\{ \frac{1}{t'_i} g'(s_{\min}, t'_i) g_2'(s_{\max}, t'_i) - x(v(t'_i)) \times \right. \right. \\
 & \times \left. \left(g(s_{\min}, t'_i) g_2(s_{\max}, t'_i) \frac{\kappa_1}{M_1} + g'(s_{\min}, t'_i) g_2'(s_{\max}, t'_i) \frac{\kappa_2}{M_2} \right) \right\} - \\
 & - \sum_{i=1}^{\infty} \left\{ \frac{\kappa_1 \kappa_2}{M_1 M_2} g(s_{\min}, t_i) g_{\max}(s_2, t_i) + x(v(t_i)) \times \right. \\
 & \left. \left. \times \left(g(s_{\min}, t_i) g_2(s_{\max}, t_i) \frac{\kappa_1}{M_1} + g'(s_{\min}, t_i) g_2'(s_{\max}, t_i) \frac{\kappa_2}{M_2} \right) \right\} \right\}, \quad (92)
 \end{aligned}$$

где ряд сходится тем быстрее, чем больше расстояние между щелями. Формулы (91), (92) применимы при $m \neq 0$.

На рис. 2 приведены зависимости модуля взаимной проводимости кольцевых щелей от $k\rho_2$ при $k\rho_1 = 17,92$ для конуса с углом $\alpha = 12^\circ$ для различных номеров гармоники тока, рассчитанные интегрированием по формуле (85). Для сравнения приведены результаты расчета взаимной проводимости щелей методом собственных функций [9].

Некоторое расхождение результатов расчета взаимных проводимостей при малых m обусловлено не учитываемой в асимптотическом методе дифракцией на вершине конуса. При увеличении m каустика поверхностных лучей удаляется от вершины конуса. Так как вершина находится относительно щели за каустикой, то уровень поля, создаваемого щелью на вершине, уменьшается. В результате уменьшается дифрагированное на вершине поле, в результате чего уменьшается расхождение результатов расчета двумя методами. Вклад волны, отраженной от каустики в данном случае мал.

При очень низких уровнях взаимной проводимости (менее -90 дБ) численное интегрирование (85) разрушается из-за ошибок округления. На рис. 3 приведена часть тех же зависимостей, рассчитанных как численным интегрированием, так и суммированием ряда вычетов. Число членов ряда равно $I = 50$ для $m = 1$, $I = 15$ для $m = 4$, $I = 5$ для $m = 15$ и 25 . Метод суммирования вычетов гораздо более быстродействующий, чем метод численного интегрирования, и не чувствителен к ошибкам округления.

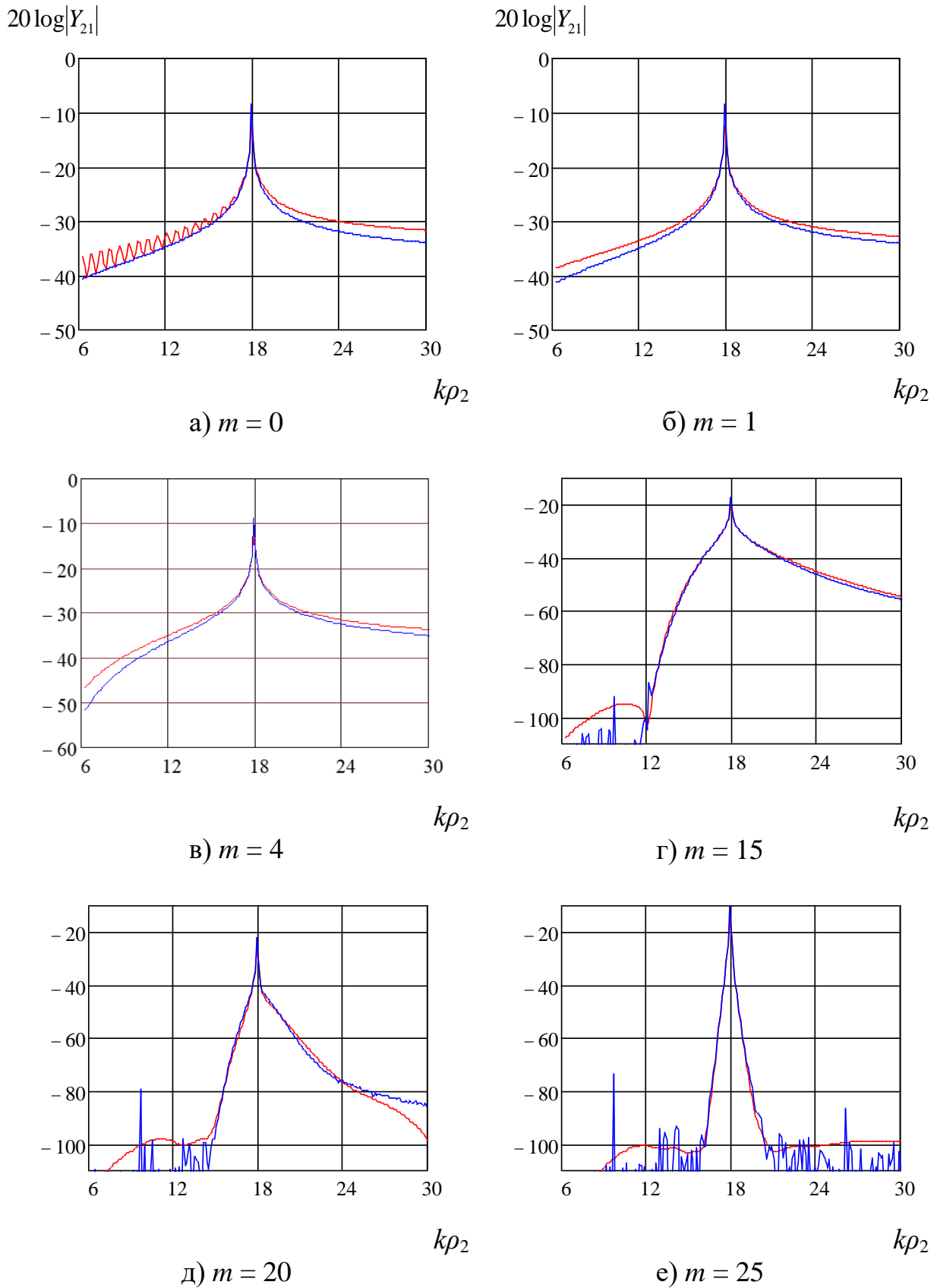


Рис. 2. Модуль взаимной проводимости кольцевых щелей: красная линия – метод собственных функций, синяя линия – вклад прямой волны $Y_{21}^{(1)}$

Однако, этот метод не пригоден для расчета собственной проводимости, а также для расчета взаимной проводимости близко расположенных щелей, так как в этом случае ряд расходится. При $m = 0$ полюса и, следовательно, ряд вычетов отсутствуют.

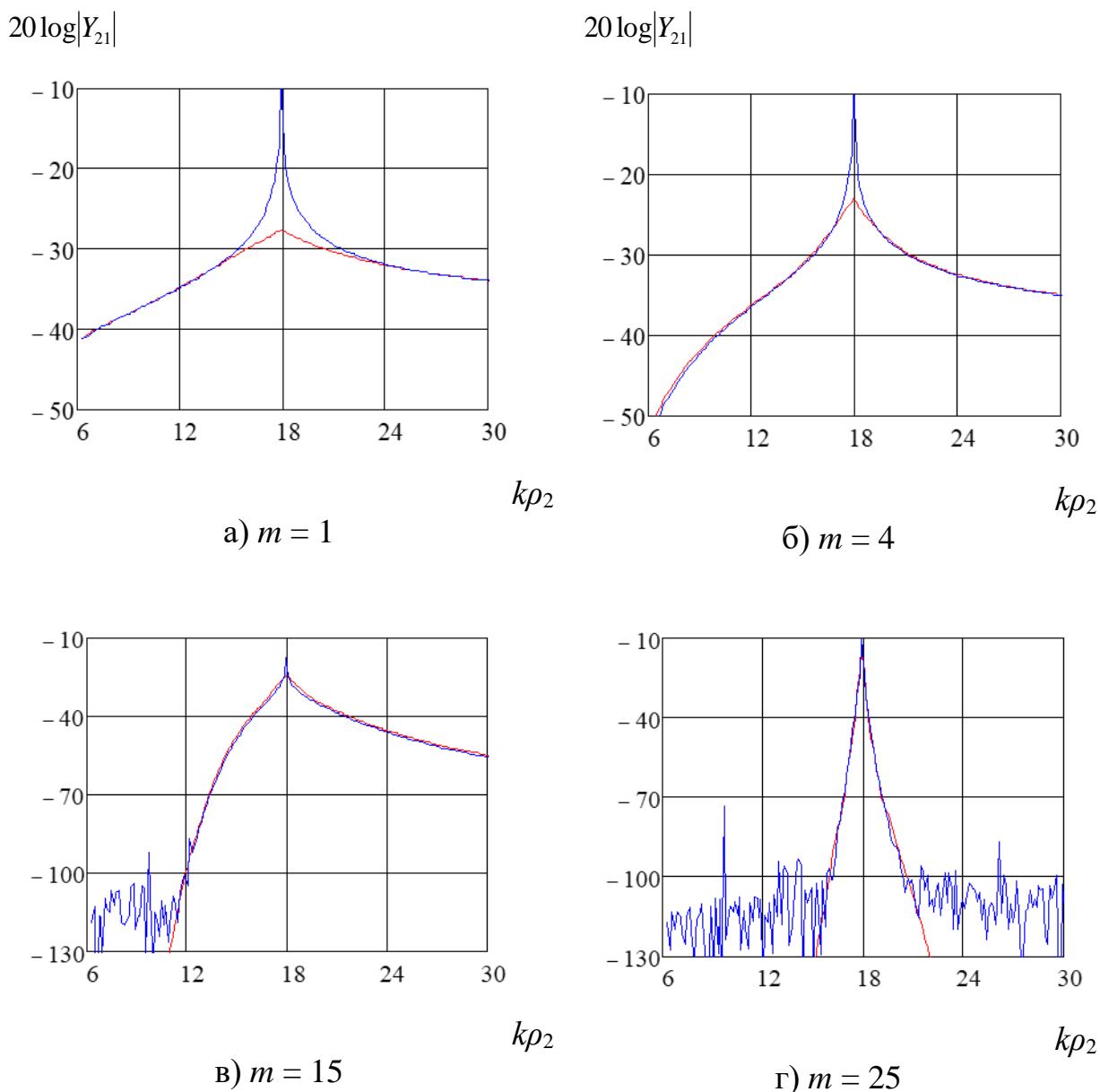


Рис. 3. Модуль взаимной проводимости кольцевых щелей: синяя линия – численное интегрирование; красная линия – сумма ряда вычетов (88)

На рис. 4 приведены результаты расчета взаимного импеданса методом собственных функций и как суммы вычетов по формулам (88) и (92). Использование (92) позволяет уточнить значение взаимной проводимости при большом расстоянии между щелями и совпадением каустики поверхностных

лучей с расположением первой щели: $m \approx k\rho_1$, учитывая, что при $m \gg 1$ влиянием дифракции на вершине конуса можно пренебречь. Это уточнение происходит на очень низком уровне значений проводимости менее -60 дБ. Кроме того, поскольку выражение (92), в отличие от (88), учитывает и отраженную от поверхностной каустики волну, из рис. 4 видно, что вклад этой волны для конической поверхности очень мал. Отраженная от каустики волна имеет место при $m < k\rho_{\min}$. В явном виде ее вклад может быть выделен наиболее просто из выражения (92) заменой функции g на $kg_2/2$. Как показывают расчеты, уровень вклада $Y_{21}^{(2)}$ в рассматриваемом случае составляет не более -110 дБ.

Рассмотрим взаимную проводимость кольцевых щелей, расположенных на конической части «усеченного» конуса с гладкой образующей, показанной на рис. 1. Для применимости развитой теории необходима непрерывность функции $\rho(z)$, а также ее первой и второй производных в точке стыка $z = z_0$. Как следует из формул (79) и (85), вклад прямой волны во взаимную проводимость щелей, расположенных на конической поверхности, не зависит от параметров поверхности «шапочки», а вклад волны, отраженной от каустики очень мал.

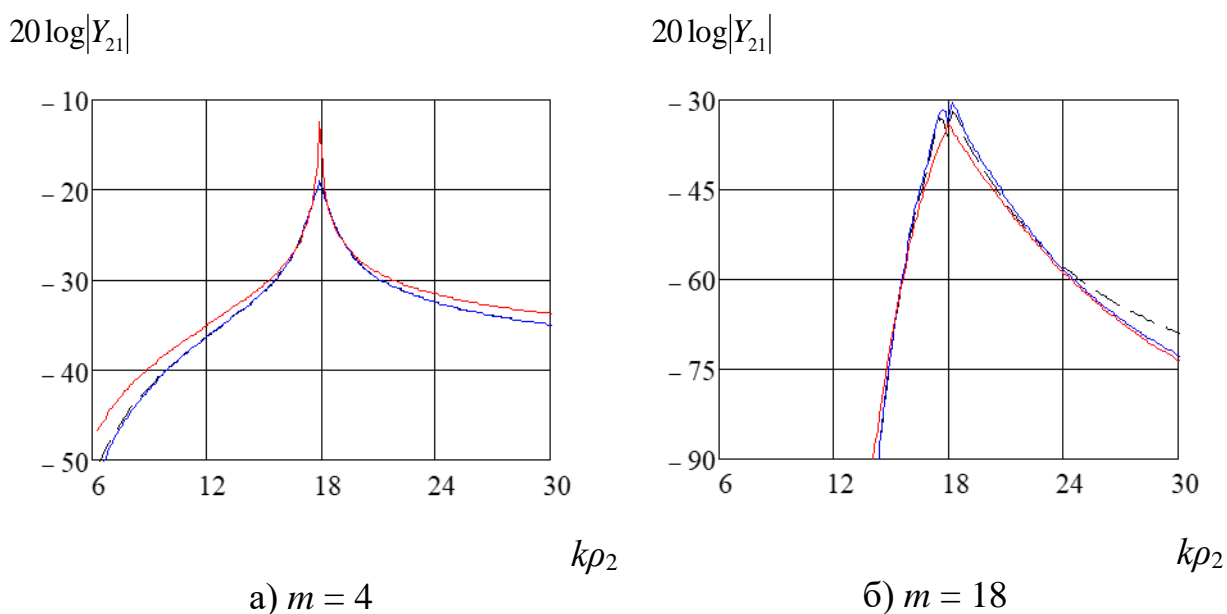


Рис. 4. Модуль взаимной проводимости кольцевых щелей: красная линия – метод собственных функций, синяя линия – сумма ряда вычетов (92), пунктирная линия – сумма ряда вычетов (88)

Таким образом, результаты расчета, полученные для полубесконечного конуса, асимптотически применимы и для плавно усеченного конуса при

расположении щелей на конической части поверхности. При нарушении непрерывности первой или второй производной образующей $\rho(z)$ в точке стыка $z = z_0$, на этой неоднородности возникнут вторичные дифракционные лучи.

Приложение. Асимптотика строгого решения для взаимной проводимости кольцевых щелей на конусе

Выражение для взаимной проводимости кольцевых щелей на конусе с нулевой гармоникой магнитного тока $m = 0$ имеет вид [9]

$$Y(r_1, r_2) = 2\pi \frac{kr_1kr_2}{Z} \sin \theta \sum_{i=1}^{\infty} \frac{2\nu_i + 1}{\nu_i(\nu_i + 1)} \left. \frac{\partial P_{\nu}(\cos \theta)}{\partial \nu} \frac{\partial \theta}{\partial \nu} \right|_{\nu=\nu_i} \cdot j_{\nu_i}(kr_{\min})h_{\nu_i}^{(2)}(kr_{\max}), \quad (\text{П.1})$$

где P_{ν} – функция Лежандра, ν_i – ее нули: $P_{\nu}(\cos \theta) = 0$, $\theta = \pi - \alpha$,

$$j_{\nu}(x) = \sqrt{\frac{\pi}{2x}} J_{\nu+\frac{1}{2}}(x), \quad h_{\nu}^{(2)}(x) = \sqrt{\frac{\pi}{2x}} H_{\nu+\frac{1}{2}}^{(2)}(x) \quad (\text{П.2})$$

– сферические функции Бесселя. Применив к формуле (П.1) формулу суммирования Пуассона [10], запишем ее в виде:

$$Y(r_1, r_2) = 2\pi \frac{kr_1kr_2}{Z} \sin \theta \sum_{p=-\infty}^{\infty} \int_{\nu_1}^{\infty} \frac{2\nu + 1}{\nu(\nu + 1)} \left. \frac{\partial P_{\nu}(\cos \theta)}{\partial \nu} \frac{\partial \theta}{\partial \nu} \right|_{\theta=\pi-\alpha} \times \times j_{\nu}(kr_{\min})h_{\nu}^{(2)}(kr_{\max})e^{j2\pi pi(\nu)} \frac{d\nu}{\left(\frac{d\nu}{di}\right)}, \quad (\text{П.3})$$

и заменой переменной интегрирования $\nu \rightarrow \nu - 1/2$, получим:

$$Y(r_1, r_2) = 2\pi \frac{kr_1kr_2}{Z} \sin \theta \sum_{p=-\infty}^{\infty} \int_{\nu_1+1/2}^{\infty} \frac{2\nu}{(\nu^2 - 1/4)} \frac{\partial P_{\nu-1/2}(\cos \theta)}{\partial \nu} \frac{\partial \theta}{\partial \nu} \times \times j_{\nu-1/2}(kr_{\min})h_{\nu-1/2}^{(2)}(kr_{\max})e^{j2\pi pi(\nu-1/2)} \frac{d\nu}{\left(\frac{d\nu}{di}\right)} \quad (\text{П.4})$$

Главный вклад в проводимость описывает нулевой член ряда с $p = 0$, при этом главный вклад в интеграл дает область $\nu \approx krsin\alpha$. Если щели удалены от вершины конуса, то $\nu \gg 1$ и можно воспользоваться асимптотикой функций Лежандра [8]:

$$P_{\nu-1/2}(\cos\theta) \cong -\sqrt{\frac{2}{\pi\nu\sin\theta}} \cos\left[\nu\theta - \frac{\pi}{4}\right]. \quad (\text{П.5})$$

Тогда:

$$\frac{\frac{\partial P_{\nu-1/2}(\cos\theta)}{\partial\theta}}{\frac{\partial P_{\nu-1/2}(\cos\theta)}{\partial\nu}} \cong \frac{\nu}{\theta}, \quad (\text{П.6})$$

нули функции Лежандра $P_{\nu-1/2}(\cos\theta)$:

$$\nu_i \approx \frac{\pi}{\theta} \left(i - \frac{1}{4}\right), \quad (\text{П.7})$$

их производная по номеру:

$$\frac{d\nu_i}{di} \cong \frac{\pi}{\theta}, \quad (\text{П.9})$$

и обратная функция от (П.7):

$$i = \frac{\theta\nu}{\pi} + \frac{1}{4}. \quad (\text{П.9})$$

В результате:

$$Y(r_1, r_2) \cong \frac{4kr_1kr_2}{Z} \sin\theta \int_0^\infty j_{\nu-1/2}(kr_{\min}) h_{\nu-1/2}^{(2)}(kr_{\max}) d\nu. \quad (\text{П.10})$$

Раскрывая сферические функции Бесселя (П.2), получим:

$$Y(r_1, r_2) \cong \frac{2\pi\sqrt{k\rho_1k\rho_2}}{Z} \int_0^\infty J_\nu(kr_{\min}) H_\nu^{(2)}(kr_{\max}) d\nu. \quad (\text{П.11})$$

Используем теорему сложения для бесселевых функций [8]:

$$H_0^{(2)}(k(r_2 - r_1)) = J_0(kr_1)H_0^{(2)}(kr_2) + 2\sum_{n=1}^\infty J_n(kr_1)H_n^{(2)}(kr_2), \quad r_2 > r_1. \quad (\text{П.12})$$

Применив формулу суммирования Пуассона, отбросив все члены ряда, кроме нулевого, и удваивая первое слагаемое, имеющее порядок $1/k\sqrt{r_1r_2}$, получим:

$$H_0^{(2)}(k|r_2 - r_1|) \cong 2 \int_0^\infty J_\nu(kr_{\min}) H_\nu^{(2)}(kr_{\max}) d\nu. \quad (\text{П.13})$$

Сопоставив (П.11) и (П.13), найдем приближенное выражение для взаимной проводимости бесконечно узких кольцевых щелей на конусе при больших $k\rho_{1,2}$:

$$Y(r_1, r_2) \cong \frac{\pi \sqrt{k\rho_1 k\rho_2}}{Z} H_0^{(2)}(k|r_2 - r_1|). \quad (\text{П.14})$$

Заключение

Получены приближенные асимптотические выражения для электромагнитного поля, создаваемого источниками в виде поверхностных магнитных и электрических токов, расположенных в приповерхностном слое толщиной порядка длины волны, над произвольной гладкой выпуклой проводящей поверхностью вращения большого размера. Эти выражения имеют вид суммы ряда азимутальных гармоник и интеграла по непрерывному спектру собственных функций поля. Выражения для собственных функций получены из решения асимптотически упрощенных уравнений электромагнитного поля и выражаются через функции Эйри. Коэффициенты ряда выражены интегралами от заданного распределения источников с собственными функциями. Асимптотические выражения электромагнитного поля представлены в двух альтернативных формах, соответствующих представлению собственных функций в интегральной и замкнутой форме через функции Эйри, равномерной для случая поверхности вращения с одним полюсом. Выражения поля учитывают неразделимость полного поля на сумму полей E - и H -типа, равномерно справедливы в приповерхностном слое поверхности, исключая окрестности полюсов поверхности вращения, и не имеют разрывов на каустиках поверхностных лучей.

Полученные выражения применены для расчета взаимных проводимостей кольцевых щелей на конической поверхности, в том числе усеченной без нарушения гладкости. Проведено сравнение результатов расчета взаимной проводимости щелей с результатами строгого расчета методом собственных

функций для полубесконечного конуса. Показано, что полученное выражение для взаимной проводимости для полубесконечного конуса в случае нулевой гармоники магнитного тока щели совпадает с главным членом асимптотики строгого решения на основе метода собственных функций.

Финансирование: Оставить пустым если финансирование отсутствует.

Литература

1. Марков Г.Т., Чаплин А.Ф. *Возбуждение электромагнитных волн*. Москва, Радио и связь. 1983. 296 с.
2. Вайнштейн Л.А. *Электромагнитные волны*. Москва, Радио и связь. 1988. 440 с.
3. Инденбом М.В. Приближенные асимптотические выражения для электромагнитного поля и взаимной проводимости щелей в проводящей выпуклой поверхности вращения в виде рядов по азимутальным гармоникам. *Журнал радиоэлектроники* [Электронное издание]. 2021. № 9. <https://doi.org/10.30898/1684-1719.2020.9.2>
4. Маслов В.П. *Операторные методы*. Москва, Наука, Физматгиз. 1973. 543 с.
5. Фелсен Л., Маркувец Н. *Излучение и рассеяние волн*. Том 1. Пер. с англ. под ред. М.Л. Левина. Москва, Мир. 1978. 547 с.
6. Федорюк М.В. *Асимптотика. Интегралы и ряды*. Москва, Наука. 1987. 544 с.
7. Фельд Я.Н., Бененсон Л.С. *Основы теории антенн*. Москва, Дрофа. 2007. 491 с.
8. Градштейн И.С., Рыжик И.М. *Таблицы интегралов, сумм, рядов и произведений*. Москва, Наука, Физматгиз. 1971. 1108 с.
9. Инденбом М.В., Скуратов В.А. Модальный подход в методе расчета осесимметричных антенных решеток с учетом взаимодействия щелевых излучателей на основе разложения электромагнитного поля по

собственным функциям внешней области поверхности антенны.

Радиотехника. 2021. № 5. С.117-131.

10. Корн Г., Корн Т. *Справочник по математике*. Москва, Наука. 1984. 831 с.

Для цитирования:

Инденбом М.В. Приближенные асимптотические выражения электромагнитного поля источников вблизи гладкой выпуклой проводящей поверхности вращения. *Журнал радиоэлектроники* [Электронное издание]. 2023 №5. <https://doi.org/10.30898/1684-1719.2023.5.2>